

# سیستمهای هدایت و ناویری فرود خودکار و طراحی یک سیستم کنترل فرود بهینه

سید حسین پور تاکدوست\* و سید احمد فاضل زاده حقیقی\*\*

دانشکده مهندسی مکانیک، دانشگاه صنعتی شریف

(دریافت مقاله: ۱۳۷۶/۷/۷ - دریافت نسخه‌نهایی: ۱۳۷۷/۱۱/۲۱)

چکیده - هدایت و کنترل هواپیما در مرحله فرود، بارکاری زیاد را بر خلبان تحمیل می‌کند. لذا به کارگیری سیستمهای کنترل فرود خودکار در این فاز پروازی از اهمیت خاصی برخوردار است.

در این مقاله پس از بررسی مراحل اصلی فرود به معروف سیستمهای هدایت و ناویری فعال در این فاز پروازی پرداخته شده است. فرود بهینه ارائه شده است. در این خصوص اصول نظری طراحی سیستم کنترل براساس حداقل کردن انحراف هواپیما از مسیر فرود با صرف کمترین انرژی کنترلی پایه‌گذاری شده است. سیستم کنترل طرح شده در خصوص یک هواپیمای مسافربری از ردۀ بوئینگ B-747 در ازای شرایط پروازی مندرج در آیینه‌نامه FAR<sup>1</sup> شبیه‌سازی رایانه‌ای شده است این شبیه‌سازیها نشان داده است که سیستم کنترل طراحی شده قادر است هواپیما را با بهترین شاخصهای پروازی در کوریدور مسیر فرود هدایت کند.

## Automatic Landing Guidance Systems and Design of an Optimal Landing Control System

Seid H. Pourtakdoust, S.A. Fazelzadeh Haghghi

Department of Mechanical Engineering, Sharif University of Technology

**ABSTRACT-** *Guidance and control of aircraft in the landing phase imposes extra pilot work loads, hence application of automatic landing control systems is of great importance. In this study automatic landing control systems are introduced and an optimal landing control system is designed. The control system performance criteria are based on minimum control effort. The designed system is simulated for a transport category aircraft in accordance with FAR requirements. The results show that the designed system is completely capable of controlling the aircraft in its landing corridor.*

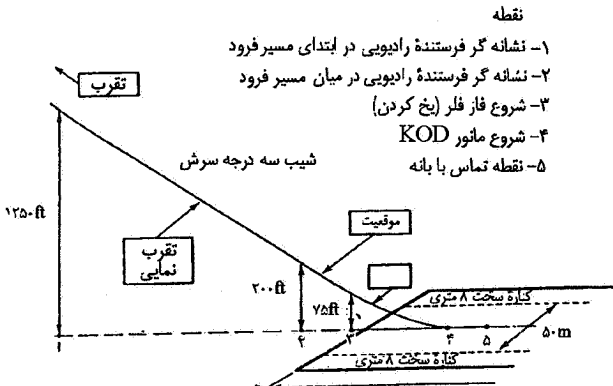
مسائلی بوده که توجه طراحان هواپیما را به خود اختصاص داده

است. در این خصوص به حداقل رساندن عوامل انسانی و حرکت به

پس از تحقق آرزوی پرواز، ایمنی پرواز از جمله مهمترین

۱- مقدمه

\* دانشیار \*\* دانشجوی دکترا



شکل ۱- مسیر نهایی فرود

و نشستن<sup>۴</sup> است، در مجموع در دو فاصله زمانی مورد مطالعه در جدول (۲) به ترتیب ۷۵/۶۴ و ۵۶ درصد و قایع در فاز فرود رخ داده است. تلفیق نکات این دو جدول به دو مطلب اشاره می‌کند. یکی آنکه فاز پرواز فرود از بحرانیترین مراحل پروازی است و دیگر اینکه این فاز به لحاظ حجم کاری درصد بالایی از کل عملیات پرواز را به خود اختصاص می‌دهد. بدین دلیل به کارگیری سیستمهای خودکار به طور مؤثری می‌تواند ایمنی پرواز را افزایش دهد.

### ۱-۱- مراحل اصلی فاز فرود

فاز فرود به دو مرحله اصلی تقریب نهایی و فلو<sup>۵</sup> قابل تفکیک است، شکل (۱). معمولاً هواپیما مسیر تقریب را تحت زاویه پرواز منفی بین ۲ تا ۵ درجه و با سرعت نزول ثابت طی می‌کند. بر اساس آزمایش‌های پروازی به منظور انجام یک فرود نرم ارتفاع پرواز در مرحله فلو بایستی به صورت نمایی کاهش یابد. این شرایط کاهش ارتفاع را می‌توان به صورت معادله (۱) بیان کرد.

$$h(t) = h_0 e^{-\frac{t}{\tau}} \quad (1)$$

که در معادله بالا

$h_0$ : ارتفاع پرواز در شروع مرحله فلو و  
 $\tau$ : ثابت زمانی مرحله فرود است.

### ۱-۲- سیستمهای هدایت و ناویری

در شرایط پروازی IFR خلبان با توجه به نوع سیستم کنترل

جدول ۱- درصد عوامل مختلف در به مخاطره‌انداختن ایمنی پرواز

عامل	درصد
عوامل انسانی (کادر پرواز برج مراقبت ...)	۶۲/۰
خطای مراحل انجام کار سیستم	۱۵/۰
تعمیرات و نگهداری	۳/۵
تخرب عمدی	۶/۵
زوال مواد با سیستم	۸/۰
شرایط آب و هوایی	۴/۵
عوامل ناشناخته	۰/۵

جدول ۲- درصد حوادث در مراحل مختلف پرواز

مرحله پروازی	۱۹۶۲-۱۹۷۱	۱۹۷۵-۱۹۷۲
برخاستن و اوچگیری اولیه	۲۰	۱۸/۲۵
اوچگیری	۱۳	۲
پرواز مستقیم	۴	۶
نزول	۹	۱۰
تقریب	۳۵	۳۶/۵
تقریب اشتباہ	-	۱
نشستن	۱۲	۱۸/۲۵
حرکات زمینی	۴	۸
آموزش و آزمایش	۲	-

سمت سیستمهای کنترل خودکار گامی مؤثر در افزایش ایمنی پرواز محسوب می‌شود.

جدول (۱) درصد عوامل مختلفی که تاکنون در به مخاطره‌انداختن ایمنی پرواز نقش داشته‌اند را نشان می‌دهد [۱]. همان گونه که ملاحظه می‌شود عوامل انسانی بیشترین درصد را به خود اختصاص داده‌اند. مطالعه درصد وقوع حوادث در مراحل مختلف پرواز نشان‌دهنده حجم بارکاری و تنشهای بالای آن فاز پروازی بر روی کادر پرواز است.

جدول (۲) درصد حوادث اتفاق افتاده در مراحل مختلف پرواز را در دو فاصله زمانی سالهای ۱۹۶۲ تا ۱۹۷۱ و ۱۹۷۵ تا ۱۹۷۲ نشان می‌دهد [۲].

از آنجاکه فاز فرود آمدن هواپیما شامل سه مرحله نزول<sup>۶</sup> تقریب<sup>۷</sup>

هوانوردی فعال‌اند سه طبقه‌بندی برای سیستمهای کنترل فرود خودکار براساس دو پارامتر میدان دید باند RVR<sup>۸</sup> و ارتفاع تصمیم‌گیری DH<sup>۹</sup> برای فرود مطرح کرده‌اند [۶].

شکل (۲) این طبقه‌بندی را براساس تعاریف ICAO نشان می‌دهد.

**۲- طراحی یک سیستم کنترل فرود خودکار ILS-III**

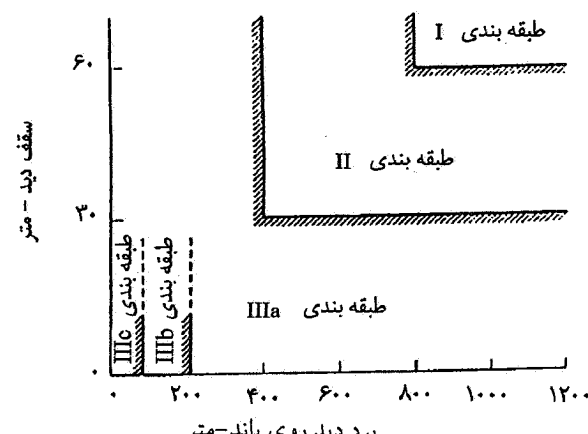
تحقیقات کثیری در رابطه با سیستمهای کنترل فرود سعی بر تکمیل مدل‌های دینامیک پرواز، با افزودن اثرات اختشاشات اتمسفر به معادله‌های پروازی دارند [۷، ۸]، ولی غالباً اثرات هر مورد را به تنها یی مورد بررسی قرار می‌دهند و یا به نحوی از یک کنترل کننده با ورودی منفرد استفاده می‌کنند. بدین صورت عملاً با یک سیستم تک ورودی - تک خروجی (SISO) مواجه می‌شووند. همراه با پیچیده شدن مدل دینامیکی پرواز و افزایش تعداد ورودی-خروجیها طراحی کنترل کننده‌ها از روشهای متعارف کلاسیک برای اراضی تمامی محدودیتهای فیزیکی به همراه شرایط مطلوب خروجیها مورد نظر غیرعملی می‌شود. از طرفی نحوه ارزیابی عملکرد سیستمهای چندوروودی - چندخروجی (MIMO) به سادگی سیستمهای تکوروودی - تکخروجی نیستند.

روش مناسب برای این گونه مسائل روش کنترل بهینه است. هدف از کنترل بهینه تعیین عالیم کنترلی است که علاوه بر اراضی محدودیتهای فیزیکی یک معیار عملکرد را نیز ارضا (حداقل یا حداکثر) کنند. طراحی یک کنترل کننده به روش کنترل بهینه مستلزم انجام مراحل زیر است.

- ۱- بیان مناسب دینامیک سیستم
- ۲- بیان محدودیتها و وضعیتهای مطلوب
- ۳- تعیین معیار عملکرد سیستم
- ۴- تعیین قانون کنترل

#### ۱-۱- معادله‌های دینامیک پرواز

معادله‌های حرکتی و سینماتیکی هواپیما با فرض صلب بودن هواپیما به دست آمده و به شرایط فرود اختصاص داده شده‌اند [۹، ۱۰]. این معادله‌های مزدوج و غیرخطی‌اند. در شرایط پروازی فرود به دلایلی همچون ثابت بودن سرعت فرود، حالت پرواز



شکل ۲- طبقه‌بندی سیستم کنترل فرود خودکار

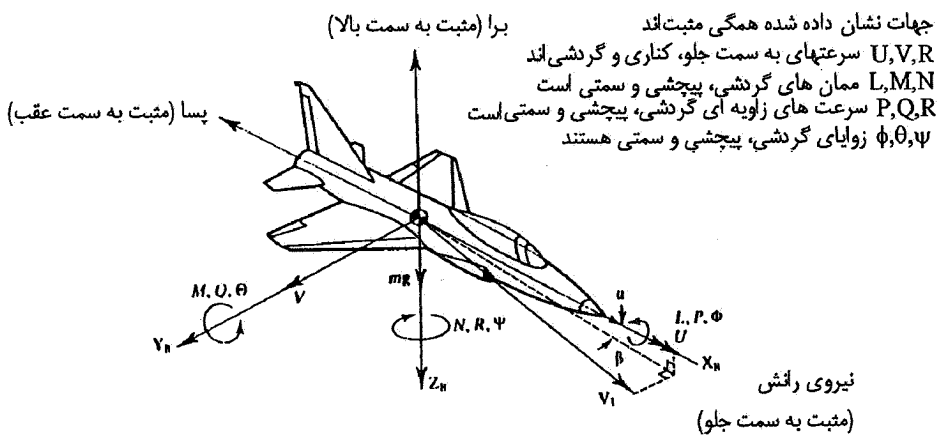
فرود خودکار هوایپما از امکانات ناویگی ایستگاههای زمینی و تجهیزات نصب شده در کابین پرواز استفاده می‌کند [۲]. امروزه از دو سیستم فرود با آلات دقیق ILS<sup>۶</sup> و سیستم فرود با مایکروپیو MLS<sup>۷</sup> برای هدایت هوایپما در مرحله تقرب نهایی استفاده می‌کنند. در مرحله فاز به دلیل پایین بودن ارتفاع و وجود اختلالات سیگنالی نمی‌توان از فرستنده‌های زمینی استفاده کرد و بایستی در شرایط پروازی IFR از یک سیستم کنترل که مستقل از فرستنده‌های زمینی است استفاده شود [۳].

#### ۱-۳- سیستمهای فرود خودکار

ابتداً ترین سیستمهای ILS در سالهای ۱۹۴۳ طرح ریزی شدند و تا به امروز پیشرفت قابل توجهی کرده‌اند. تجهیزات ILS اگرچه تسهیلاتی برای انجام مرحله فرود در اختیار خلبان می‌گذارند ولی کاملاً خودکار نیستند [۵]. سیستمهای فرود خودکار از سه کنترل کننده زیر تشکیل شده‌اند

- ۱- سیستم کنترل زاویه فرود
- ۲- سیستم کنترل فلر خودکار

۳- سیستم کنترل سمت عرضی پرواز اولین سیستمهای فرود خودکار در همان سالهای اولیه ابداع ILS ساخته شدند. سیستمهای اولیه فقط قادر به انجام خودکار مرحله تقرب بوده‌اند در حالی که مدل‌های جدیدتر آن قادر به انجام مراحل بعدی نیز هستند. مؤسسه‌هایی از قبیل سازمان هوانوردی آمریکا FAA و ایکائو ICAO که در خصوص ایمنی پرواز و قوانین



شکل ۳- جهات مؤلفه‌های برداری

### ۱-۱-۲ متغیرها در جهت حرکت طولی

بردارهای حالت، کنترل و اغتشاشات عبارت اند از:

$$X^T = [w \ q \ \theta \ h]$$

$$U^T = [\delta_E \ \delta_{th}]$$

$$V_g = [w_g \ q_g]$$

به طوری که:

w: مؤلفه‌های اختلالی سرعت عمودی

q: نرخ زاویه پیچ  ${}^{\circ}$

$\theta$ : زاویه پیچ

h $^{\circ}$ : نرخ نزول

h: ارتفاع پرواز

$\delta_E$ : جابه‌جایی سطح بالابر  ${}^{11}$

$\delta_{th}$ : جابه‌جایی دسته گاز

w<sub>g</sub>: مؤلفه سرعت عمودی اغتشاشات اتمسفر

q<sub>g</sub>: مؤلفه نرخ زاویه پیچ اغتشاشات اتمسفر

U<sub>1</sub>: سرعت فرود

$$\alpha = \frac{w}{U_1}$$

خروجی مورد نظر در مرحله تقریب زاویه پرواز  $\gamma$  است.

$$\gamma = \theta - \alpha$$

(۴)

متقارن و مستقیم الخط در طی مسیر فرود و کم بودن سرعت

اغتشاشات در مقایسه با سرعت هواپیما می‌توان معادله‌های

پروازی را خطی کرد. در این مقاله به استفاده از نظریه اختلالات

کوچک، معادله‌های خطی شده‌اند. معادله‌های حرکتی و

سینماتیکی حاصله به دو بخش حرکت طولی و عرضی قابل

تفکیک‌اند. در شکل (۳) جهات مثبت مؤلفه‌های حرکتی و نیرویی

مشخص شده‌اند. تفکیک نیروها و ممانهای واردہ به هواپیمه به دو

بخش آیرودینامیکی و رانشی، و بررسی آنها در سیستم مختصات

پایداری روش مناسبی را برای به دست آوردن اثرات و تغییرات آنها

در ازای متغیرهای حرکتی و کنترلی ایجاد می‌کند.

برای مدل‌سازی معادله‌های دینامیکی، با استفاده از مشتقات

پایداری و ابعادی هواپیما، معادله‌های دینامیک پرواز خطی شده،

به فضای حالت تبدیل خواهد شد. شکل کلی معادله‌های سیستم و

خروجی در فضای حالت به شکل زیر خواهد بود

$$\dot{X} = AX + BU + EV_g \quad (2)$$

$$Y = CX \quad (3)$$

به طوری که

X: برادر حالت‌های انتخابی

U: بردار کنترل

V<sub>g</sub>: بردار اغتشاشات اتمسفر

Y: بردار خروجی

A,B,E,C: ماتریس‌های ضرایب دینامیکی سیستم

(۵)

$$\gamma = \theta - \left[ \frac{w}{U_1} \right] \quad (5)$$

$A$ : ماتریس پارامترهای اغتشاشات است.

## ۲-۲- محدودیتها و شرایط مطلوب خروجی

محدودیتهای فیزیکی متنکی بر خصوصیات هوایپما و محدود به حدود مکانیکی سیستم‌اند. وضعیتهای مطلوب خروجی، بردارهایی از خروجی‌اند که در هر مرحله پروازی مایل به دنبال کردن آنها هستیم و به عنوان سیگنالهای فرمان  $Y_{com}$  به سیستم کنترل فرود خودکار داده می‌شوند. در جهت حرکت طولی، محدودیت فیزیکی عبارت‌اند از:

$$\delta_{E\min} < \delta_E < \delta_{E\max}$$

$$\delta_{th\min} < \delta_{th} < \delta_{th\max} \quad (10)$$

خروجی مطلوب در مرحله تقرب، زاویه فرود:

$$Y_{com} = \gamma = \gamma_{G,S} \quad (11)$$

$\gamma$  زاویه فرود سیگنال ارسالی باند فرودگاه است و خروجی مطلوب در مرحله فلر، ارتفاع پرواز است

$$Y_{com} = h(t) = h_0 \exp \left( -\frac{t}{\tau} \right) \quad (12)$$

در جهت حرکت عرضی، محدودیت فیزیکی عبارت‌اند از:

$$\delta_{A\min} < \delta_A < \delta_{A\max}$$

$$\delta_{R\min} < \delta_R < \delta_{R\max} \quad (13)$$

و خروجی مطلوب در مرحله تقرب و فلر، سمت پرواز است

$$Y_{com} = \lambda_{loc} \quad (14)$$

$\lambda_{loc}$  زاویه سمت سیگنال ارسالی باند فرودگاه است.

## ۳-۲- تعیین تابع عملکرد سیستم

تابع عملکرد مورد نیاز در مرحله فرود را می‌توان براساس مدل

$$Y = \begin{bmatrix} -\frac{1}{U_1} & 1 & 0 & 0 \end{bmatrix} \{X\} \quad (6)$$

و در مرحله فلر خروجی ارتفاع پرواز  $h$  است.

$$Y = [ \dots \ 1 ] \{X\} \quad (7)$$

## ۱-۲- متغیرها در جهت حرکت عرضی

بردارهای حالت، کنترل و اغتشاشات عبارت‌اند از:

$$X^T = [\beta \ P \ r \ \phi \ \psi]$$

$$U^T = [\delta_A \ \delta_R]$$

$$V_g^T = [\beta_g \ P_g \ r_g]$$

به طوری که

$\beta$ : زاویه سرش جانبی

$P$ : سرعت زاویه‌ای گردشی

$r$ : سرعت زاویه‌ای یا و

$\phi$ : زاویه بنک

$\psi$ : زاویه یا و

$\lambda$ : زاویه سمت پرواز ( $\lambda = \beta + \psi$ )

$\delta_A$ : میزان جایه‌جایی سطح کنترل شهپر

$\delta_R$ : میزان جایه‌جایی سطح کنترل سکان عمودی

$\beta_g, P_g, r_g$ : مؤلفه‌های اغتشاشی اتمسفر

خروجی مورد نظر در بخش عرضی، زاویه سمت پرواز است.

$$Y = [ \dots \ 1 ] X \quad (8)$$

ماتریس  $E, B, A$  در هر بخش شامل مشتقهای پایداری مدل

دینامیکی هوایپما هستند.

مدل دینامیکی اغتشاشات اتمسفر به صورت زیر توصیف پذیر

است.

$$\dot{V}_g = A \cdot V_g \quad (9)$$

ردیابی با حداقل تلاش کنترل به صورت معادله (۱۵) بیان کرد [۱۱].

$$R^{-1}(t)B^T K_1(t)X(t) - J = \frac{1}{2} \{ e^T(T)He(T) \} + \frac{1}{2} \int_t^T \{ e(t)^T Qe(t) + U(t)^T RU(t) \} dt \quad (۱۵)$$

ماتریسهای  $K_1$ ،  $K_2$  و  $S_1$  از حل معادله های دیفرانسیل غیرخطی:

$$\dot{K}_1 = -K_1 A - A^T K_1 + K_1 B R^{-1} B^T K_1 - C^T Q C \quad (۱۸)-الف$$

$$\dot{K}_2 = -K_2 E - K_2 A - A^T K_2 + K_2 B R^{-1} B^T K_2 \quad (۱۸)-ب)$$

$$\dot{S}_1 = -[A^T - K_1 B R^{-1} B^T] S_1 + C^T Q Y_{com} \quad (۱۸)-ج)$$

با شرایط مرزی:

$$K_1(T) = C^T H C ; \quad K_2(T) = 0$$

$$S_1(T) = -C^T H Y_{com}(T) \quad (۱۹)$$

به دست می آیند.

در قانون کنترلی (I) معادله (۱۷)، عبارت اول مربوط به بهره پس خور وضعیتها، عبارت دوم و سوم به ترتیب مربوط به بهره پیش خور بردار اختشاشات و سیگنال فرمان اند.

#### ۲-۴-۲ قانون کنترلی II

چنانچه بتوان مسئله ردیابی با فرمان ثابت را به یک مسئله تنظیم کننده تبدیل کرد. آن گاه طراحی کنترل کننده عملیاتی می شود. با استفاده از مبانی نظری کنترل چند متغیره این مدل ارائه شده است [۱۰ و ۱۴]. معادله سیستم و خروجی را در حالت کلی به صورت ۲۰ و ۲۱ تعریف می کنیم

$$\dot{X} = AX + BU + EV_g \quad (۲۰)$$

$$Y = CX + DU + FV_g \quad (۲۱)$$

با فرض اینکه ورودیهای فرمان و اختشاشات به صورت بردارهایی با مقادیر ثابت و مشخص باشند می توان با یک کنترل انتگرالی به طرحی پایدار، به همراه خطای حالت ماندگار صفر دست یافت.

#### ۴-۲ تعیین تابع کنترلی

به استثنای سیگنال فرمان ورودی به کنترل کننده مرحله فلر، دو سیگنال فرمان ورودی به کنترل کننده های زاویه فرود و سمت عرضی پرواز دارای مقادیر ثابت اند. در عمل دستیابی به سیستم کنترل ردیاب با سیگنال فرمان ثابت (بهره های ثابت) به راحتی سیستم کنترل تنظیم کننده نیستند [۱۰-۱۳]. در حالت فرمان متغیر تمامی پارامترهای بهره سیستم تابعی از زمان می شوند، که با حل معادله های کنترلی مربوطه قابل حصول است.

از طرف دیگر ساخت سیستمهای کنترلی با بهره ثابت راحتتر از سیستمهای کنترل با بهره متغیر است. بدین دلیل از دو مدل کنترلی متفاوت برای طراحی سیستم کنترل فرود خودکار استفاده خواهیم کرد. مدل اول برای کنترل کننده فلوز خودکار، و مدل دوم برای سیستم کنترل زاویه فرود و سمت عرضی پرواز قابل اعمال اند.

#### ۱-۴-۲ قانون کنترلی I

معادله های دینامیکی (۲)، (۳)، (۹) و تابع عملکرد (۱۵) را در نظر گرفته و با استفاده از مبانی نظری کنترل بهینه و اصل تغییراتی پونترباگن<sup>۱۷</sup> و اعمال شرایط بهینگی تابع کنترلی (۱۷) به صورت زیر در خواهد آمد [۱۴].

$$U(t) = -F_1(t)X(t) - F_2 \left( \int_0^t Y - Y_{com} \right) dt \quad (27)$$

به دست می‌آید. مدل کنترلی (27) یک کنترل‌کنندهٔ تناوبی، انتگرالی مقاوم<sup>۱۸</sup> است. به دلیل استفاده از یک مدل انتگرالی در معادله (27) رفتار حالت گذاری سیستم به ازای بردار اغتشاشات  $V_g$  مناسب نبوده، لذا برای بهبود وضعیت حالت گذرا از یک حلقة کنترل پیش‌خور برای کاهش اثر اغتشاشات استفاده شده است. در مرجع [۵] به تفصیل مراحل ریاضی این ترکیب بررسی شده است. با افزودن مدل پیش‌خور از سیگنال اغتشاشات به معادله (27) شکل قانون کنترلی بالا به صورت زیر در خواهد آمد:

$$U(t) = -F_1(x) X(t). \quad (28)$$

$$F_2 \int_0^T (Y - Y_{com}) dt - F_2 \begin{bmatrix} V_g \\ Y_{com} \end{bmatrix} \quad \text{به طوری که}$$

$$F_2 = [F_1 \ I] G^{-1} H$$

$$G = \begin{bmatrix} A & B \\ C & D \end{bmatrix} ; \quad H = \begin{bmatrix} E & 0 \\ F & -I \end{bmatrix}$$

قانون کنترلی II شامل سه جمله است، جمله اول پس‌خور وضعیتها، جمله دوم مربوط به کنترل انتگرالی و جمله سوم پیش‌خور بردار اغتشاشات و فرمان ورودی از این مدل کنترلی در طراحی، دو سیستم کنترل زاویه فرود و سمت عرضی پرواز استفاده شده و نتایج رضایت‌بخشی حاصل شده است.

## ۶- حل عددی

براساس معادلهٔ نظری به دست آمده یک سیستم کنترل فرود خودکار از طبقه ILS III a برای یک هواپیمای مسافیری از رده بوینگ B-۷۴۷ طراحی شده است، با استفاده از پارامترهای ایرو‌دینامیکی، مشخصات فیزیکی و شرایط پروازی فرود هواپیما این ماتریسهای ضرایب تعیین شده‌اند [۹، ۱۰، ۱۵]. در سیستم کنترل طراحی شده ماتریسهای وزنی  $Q$ ،  $R$  به عنوان پارامترهای طراحی مطرح بوده و به گونه‌ای انتخاب شده‌اند که نتایج معیارهای پروازی FAR<sup>۱۹</sup> را ارضا کنند [۱۷]. معیار پروازی کوپر-هارپر یکی

اساس طراحی بردار کنترل  $U$  به گونه‌ای خواهد بود که با گذشت زمان برای ارضای پایداری  $\dot{X} \rightarrow 0$  و برای رسیدن به خطای ماندگار  $Y \rightarrow Y_{com}$  می‌پیل کند. با انتگرال‌گیری از بردار خطای به صورت:

$$\eta = \int_0^T (Y - Y_{com}) dt \quad (22)$$

می‌توان آن را وارد معادله‌های دینامیکی کرد. با مشتقگیری از معادله (22) و ایجاد عبارت  $\eta'$  و انجام عملیات جبری می‌توان معادله دینامیکی و خروجی را به شکل زیر تبدیل کرد.

$$\dot{Z} = \hat{A}Z + \hat{B}V \quad (23)$$

به طوری که

$$Z = \begin{bmatrix} X - X_s \\ \eta - \eta_s \end{bmatrix}; \quad V = U - U_s$$

$$\hat{A} = \begin{bmatrix} A & 0 \\ C & 0 \end{bmatrix}; \quad \hat{B} = \begin{bmatrix} B \\ D \end{bmatrix}$$

و بردارهای ثابت  $X_s$ ،  $U_s$  و  $\eta_s$  حالت ماندگار بردارهای  $X$  و  $U$  و  $\eta$  هستند. شرایط مطلوب برای وضعیتها جدید رسیدن به  $Z = 0$  و یا  $X = X_s$  و  $\eta = \eta_s$  است. بنابراین طرح مسئلهٔ ردیابی به شکل یک تنظیم کنندهٔ تبدیل شده است. براساس نظریهٔ کنترل بهینه باستی قانون کنترل را که تابع معیار (24)

$$J = \frac{1}{2} Z^T(t) H Z(t) + \frac{1}{2} \int_0^T (Z^T(t) Q Z(t) + V^T(t) R V(t)) dt \quad (24)$$

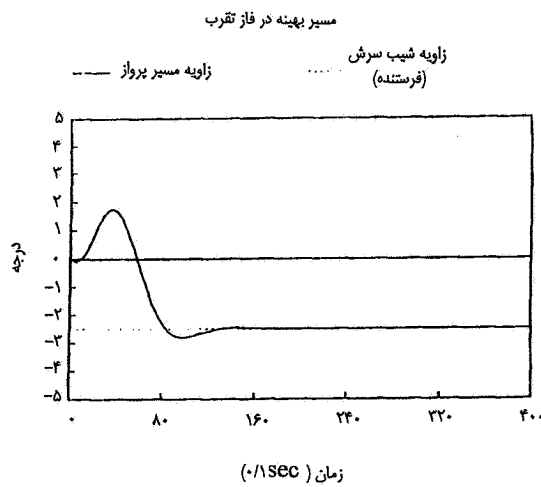
را حداقل کند به دست آوریم. با استفاده از حساب تغییرات ثابت می‌شود که قانون کنترلی به صورت

$$V = F(t) Z(t) \quad (25)$$

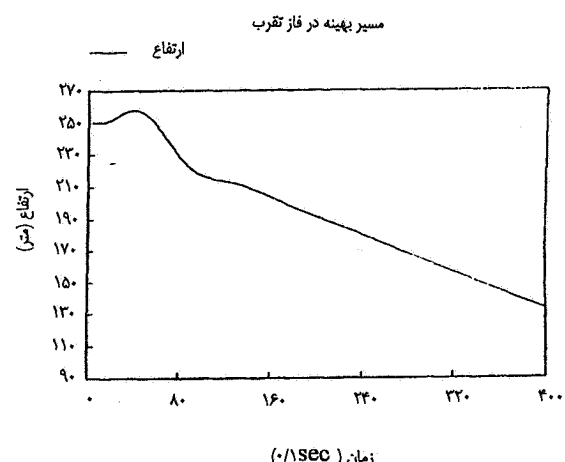
وجود دارد به طوری که:

$$F(t) = R^{-1} \hat{B}^T K(t) \quad (26)$$

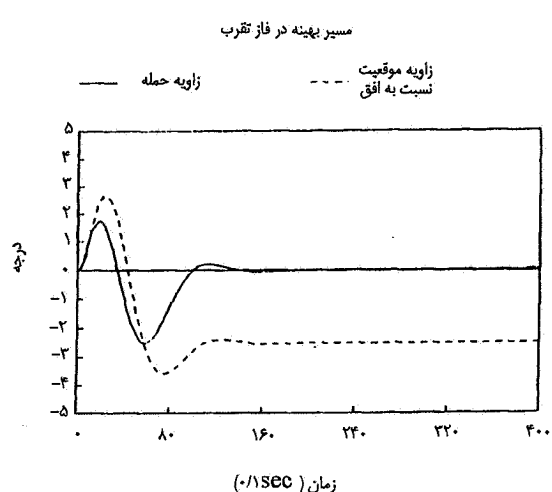
ماتریس  $K$  از حل معادلهٔ دیفرانسیل نظیر معادله (18) که به معادله ریکاتی معروف است حاصل می‌شود. با برگرداندن مسئله از لحاظ جبر ماتریسهایها و تفکیک ماتریسهایها شکل قانون کنترلی به صورت:



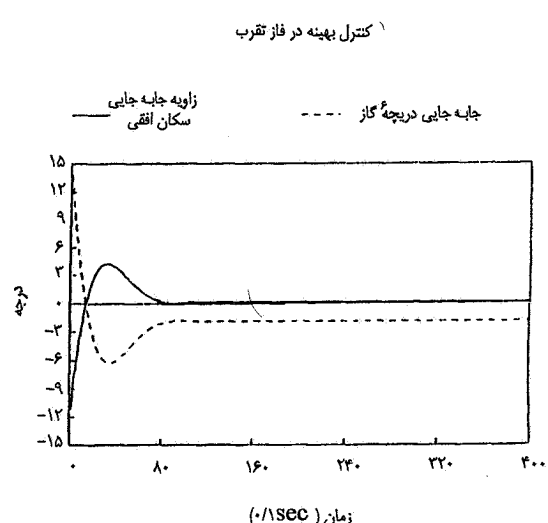
شکل ۵- تغییرات زاویه پرواز در مسیر فرود



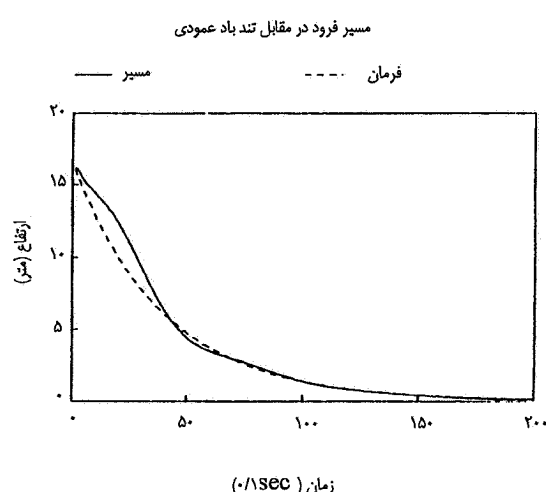
شکل ۴- تغییرات ارتفاع در مسیر فرود



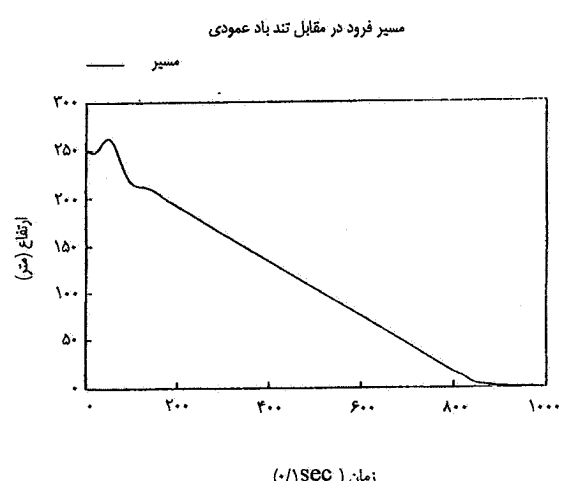
شکل ۷- تغییرات زاویه حمله و Pitch در مسیر فرود



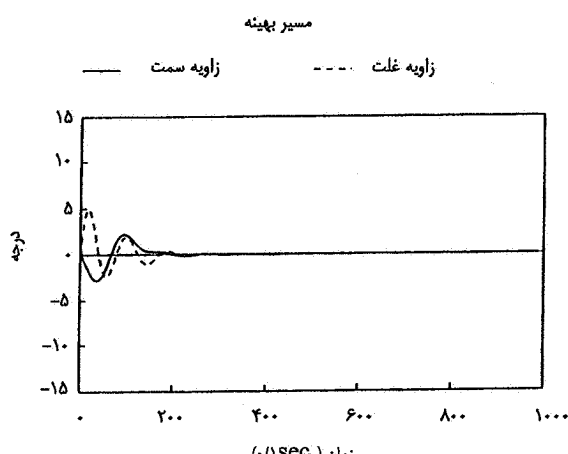
شکل ۶- کنترل بهینه اعمالی در مسیر فرود



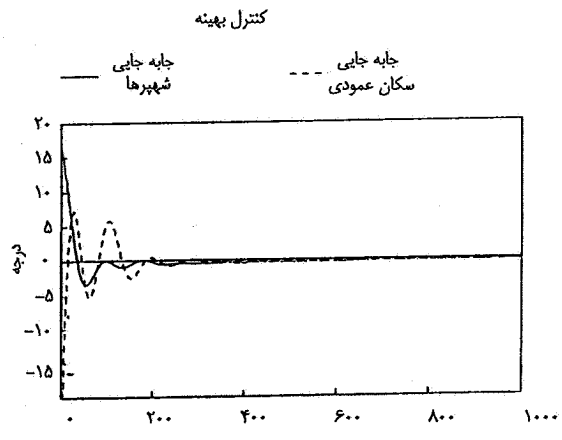
شکل ۹- تغییرات ارتفاع در مرحله فلر-باد عمودی  $5 \text{ m/s}$



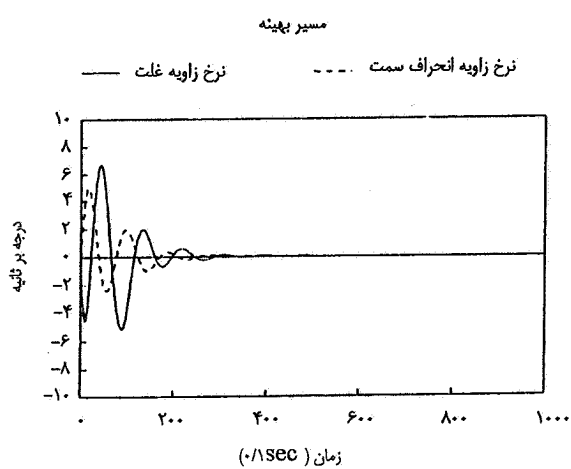
شکل ۸- تغییرات ارتفاع در مسیر فرود-باد عمودی  $5 \text{ m/s}$



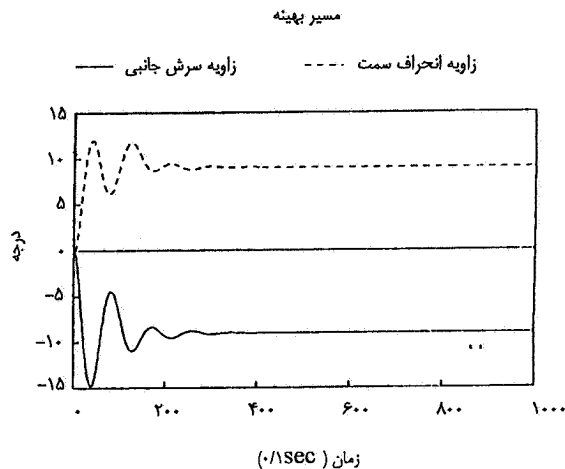
شکل ۱۱- مسیر بهینه زاویه سمت و گردشی با باد جانبی  $15\text{m/s}$



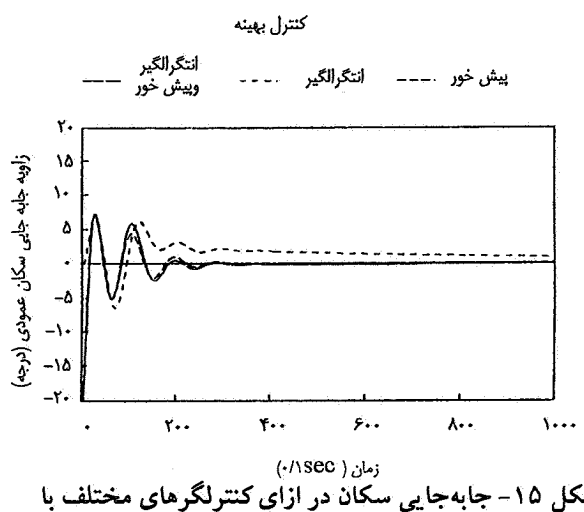
شکل ۱۰- کنترل بهینه اعمالی در شرایط فرود با باد جانبی  $15\text{m/s}$



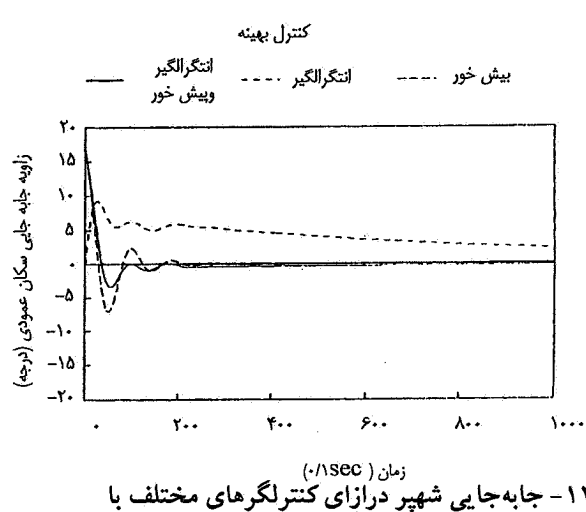
شکل ۱۳- تغییرات نرخ گردشی و نرخ یاوه با باد جانبی  $15\text{m/s}$



شکل ۱۲- تغییرات زاویه سرش جانبی و زاویه یاو با باد جانبی  $15\text{m/s}$



شکل ۱۵- جایه جایی سکان در ازای کنترلگرهای مختلف با باد جانبی  $15\text{m/s}$



شکل ۱۴- جایه جایی شهرهای درازای کنترلگرهای مختلف با باد جانبی  $15\text{m/s}$

نامطلوب اولیه پروازی، در کوریدور مسیر فرمان شده فرود با شاخصه‌های دینامیکی مطلوب هدایت کند.

بخشی از نتایج حاصله عبارت اند از:

۱- فرضیه اختلالات کوچک برای خطا کردن معادله‌های پروازی در مراحل فرود مناسب است.

۲- با افودن کنترل کننده انتگرالی می‌توان مسائل رديابی با فرمان ورودی ثابت را به مسائل تنظیم کننده تبدیل کرد.

۳- با افزایش المانهای ماتریس وزنی کنترلی  $R$  میزان جابه‌جایی کنترلها کاهش می‌یابد ولی در مقابل زمان قرار و دامنه خطأ افزایش پیدا می‌کند.

۴- افزایش المانهای وزنی حالت  $Q$  باعث افزایش میرایی سیستم خواهد شد و در مقابل جابه‌جایی سطوح کنترلی را افزایش می‌دهد.

۵- به کارگیری همزمان مدل کنترل بهینه انتگرالی و تناسبی با حلقة پیش‌خور از فرمان و اغتشاشات ورودی علاوه بر تضمین خطای صفر در حالت دائم، رفتار پاسخ‌گذاری سیستم را بهبود بخشیده است و امکان دستیابی به یک کنترل کننده مقاوم فراهم شده است.

از روش‌های تعیین محدوده پاسخهای زمانی و فرکانسی شاخصه‌های دینامیکی هوایپیماها است، که در طراحی سیستم کنترل به آن توجه شده است.

در جهت حرکت طولی مراحل تقرب و فلر به عنوان دو سیستم مجزا، طراحی و سپس تلفیق شده‌اند. در این خصوص به منظور پیوستگی در حرکت، شرایط حرکتی در انتهای مرحله تقرب به عنوان شرایط اولیه برای مرحله فلر محسوب شده است. تغییرات زمانی متغیرهای خروجی و کنترلی در جهت حرکت طولی در کل مسیر فرود در شکلهای (۴) تا (۷) (بدون هیچ گونه اختلال) و شکلهای (۸) تا (۹) (در ازای یک جریان تند باد عمودی  $5 \text{ m/s}$ ) نشان داده شده‌اند. در جهت عرضی نیز پاسخ هوایپیما در ازای شرایط نامطلوب اولیه و در هنگام وجود یک باد جانبی با سرعت  $15 \text{ m/s}$  در شکلهای ۱۰ تا ۱۳ نشان داده شده است. در شکلهای (۱۴) تا (۱۵) جابه‌جایی سطوح کنترلی به ازای مدل تناسبی - انتگرالی، مدل پس‌خود سیگنال فرمان و اغتشاشات و مدل کنترلی ترکیبی (معادله ۲۸) با یکدیگر مقایسه شده‌اند. در پیوست - مقادیر عددی ماتریسهای معادله‌های سیستم و ماتریسهای  $R, Q$  در شرایط پروازی فرود قید شده‌اند.

### قدرتانی

بدین وسیله از معاومت محترم پژوهشی و مرکز محاسبات دانشکده مهندسی مکانیک دانشگاه صنعتی شریف و بخش مهندسی مکانیک دانشگاه شیراز به خاطر فراهم کردن امکانات لازم برای انجام این پژوهش سپاسگزاری می‌شود.

### ۷- نتیجه گیری

همان گونه که از نتایج شبیه‌سازی رایانه‌ای مشاهده می‌شود سیستم کنترل فرود طرح شده در تمامی موارد به طور مؤثر عمل کرده و توانسته است که هوایپیما را، با خشنی کردن اختلالات و شرایط

### واژه نامه

1. Federal aviation regulation	8. runway visual range	15. aileron
2. descent	9. decision height	16. rudder
3. approach	10. pitch	17. Pontryagin
4. landing	11. elevator	18. robust
5. Flare	12. roll rate	19. federal aviation regulations
6. instrument landing system	13. yaw rate	
7. mircowave landing system	14. bank angle	

### مراجع

1. Monday, D., *The International Encyclopedia of Ariurion*, Octopus Books Limited, 1977.
2. Jeppesen Sanderson Inc, Private Pilot Manual, 1992.
3. Middleton, D.H., *Avionic Systems*, Longman Scientific Technical, 1989.
4. Jeppesen Sanderson Inc, Advanced Pilot Manual, 1981.
5. Mclean, D., *Automatic Flight Control Systems*,

- Prentice Hall, 1990.
6. Jeppesen Sanderson Inc, Federal Aviations Regulations, 1993.
  7. Miele, A., and Wang, T., "Optimization and Acceleration Guidance of Flight Trajectories in an Wind Shear," *Journal of Guidance, Control and Dynamics*, Vol. 19, No. 4, July-Aug. 1987.
  8. Miele, A., Wang, T., Melvin, W., and Bowles, R.L "Gamma Guidance Schemes for Flight in a Wind Shear," *Journal of Guidance, Control and Dynamics*, Vol. 11, No. 4, July-Aug. 1988.
  9. Roskam, J., *Airplane Flight Dynamics and Automatic Flight Controls*, Roskam Publishing, 1979.
  10. Fazelzadeh Haghghi, S.A., "Development of an Optimal Landing Control System," MS Thesis, Sharif University of Technology, Tehran, I.R. Iran, 1994.
  11. Kirk, D.E., *Optimal Control Theory an Introduction*, Prentice Hell, 1970.
  12. Lewis, F.L., *Optimal Control*, John Wiley, 1990.
  13. Pourtakdoust, S.H., and Fazelzadeh Haghghi, S.A., "Design of an Optimal Regulator Lateral Control System for Landing Phase," *Proceeding of the Second Annual ISME Conference*, Sharif University of Technology, Tehran I.R. Iran, May 2-5, 1994.
  14. Fazelzadeh Haghghi, S.A., and Pourtakdoust S.H., "Design of An Automatic Flare Control System," *Proceedings of the Third Annual ISME Conference*, Amir Kabir University of Technology, Tehran-Iran, May 15-17, 1995.
  15. Fazelzadeh Haghghi, S.A., and Pourtakdoust, S.H., "Development of An Optimal Approach Control System," *Proceedings of the Fourth Annual ISME & Second International Mechanical Engineering Conference*, Shiraz University, Shiraz-Iran, May 14-17, 1996.
  16. Lunze, J., *Robust Multivariable Control System*, Prentic-Hall, 1989.
  17. Roskam, J., *Airplane Design*, Roskam Publishing, 1980.
  18. FAR 25, Airworthiness Standards, Transprot Category Airplane; Federal Agency, Washington, D.C., 1968.

پیوست - مقادیر عددی ضرایب معادله ها

الف - سیستم کنترل مرحله تقرب

$$A = \begin{bmatrix} -0.1200E-01 & +9.0100E+01 & +4.3008E-01 \\ -0.0904E-03 & -4.106E-01 & -2.0805E-03 \\ -0.0000E+00 & +1.0000E+00 & +0.0000E+00 \end{bmatrix}$$

$$B = \begin{bmatrix} -1.9600E+00 & -1.9900E-05 \\ -3.7942E-01 & +7.0130E-08 \\ -0.0000E+00 & +0.0000E+00 \end{bmatrix}$$

$$B = \begin{bmatrix} -0.1200E-01 & +9.0100E+01 \\ -0.0904E-03 & -4.106E-01 \\ -0.0000E+00 & +0.0000E+00 \end{bmatrix}$$

$$C = [-1.4925E-02 \quad 0.0000E+00 \quad 0.0000E+00]$$

$$T_{com} = -2/5$$

$$Q = \begin{bmatrix} 6/6300E-01 & -2/6000E+01 & 0/000E+00 & 0/000E+00 \\ -2/6000E+01 & 1/300E+01 & 0/000E+00 & 6/000E+01 \\ 0/000E+00 & 0/000E+00 & 1/300E+01 & 0/000E+00 \\ 0/000E+00 & 6/000E+01 & 0/000E+00 & 1/000E+06 \end{bmatrix}$$

$$R = \begin{bmatrix} 1/V1V1\Lambda E+06 & 0/000E+00 \\ 0/000E+00 & 3/0460E-01 \end{bmatrix}$$

ب - سیستم کنترل مرحله فلر

$$A = \begin{bmatrix} -5/1200E-01 & 6/7000E+01 & 4/300\Lambda E-01 & 0/000E+01 & 0/000E+00 \\ -5/0904E-03 & -4/1060E-01 & -2/5800E-03 & 0/000E+00 & 0/000E+00 \\ 0/000E+00 & 1/000E+00 & 0/000E+00 & 0/000E+00 & 0/000E+00 \\ 5/1200E-01 & 0/000E+00 & 0/000E+00 & 0/000E+00 & 0/000E+00 \\ 0/000E+00 & 0/000E+00 & 0/000E+00 & 1/000E+00 & 0/000E+00 \end{bmatrix}$$

$$B = \begin{bmatrix} -1/9600E+00 & -1/9900E-07 \\ -3/V643E-01 & V/0132E-08 \\ 0/000E+00 & 0/000E+00 \\ 1/9600E+00 & 1/9900E-07 \\ 0/000E+00 & 0/000E+00 \end{bmatrix}$$

$$E = \begin{bmatrix} -5/12000E-01 & 6/7000E+01 \\ -5/0904E-03 & 4/1060E-01 \end{bmatrix}$$

$$C = [0/000E+00 \quad 0/000E+00 \quad 0/000E+00 \quad 0/000E+00 \quad 1/000E+00]$$

$$h_0 = 16 \text{ m}$$

$$\tau = 4 \text{ sec}$$

$$T = 5\tau$$

$$Y_{com}(t) = 16e^{-t/4} \quad 0 \leq t \leq 20$$

$$Q = [2/V250E+01]$$

$$R = \begin{bmatrix} \sqrt{9200}E+03 & \sqrt{10000}E+00 \\ \sqrt{10000}E+00 & \sqrt{9000}E-01 \end{bmatrix}$$

### ج - سیستم کنترل سمت - جهت حرکت عرضی

$$A = \begin{bmatrix} \sqrt{9000}E-02 & \sqrt{10000}E+00 & \sqrt{10000}E+00 & \sqrt{4702}E-01 & \sqrt{10000}E+00 \\ \sqrt{10000}E+00 & -\sqrt{10000}E-01 & \sqrt{10000}E-01 & \sqrt{10000}E+00 & \sqrt{10000}E+00 \\ \sqrt{10000}E-01 & -\sqrt{10000}E-01 & -\sqrt{10000}E-01 & \sqrt{10000}E+00 & \sqrt{10000}E+00 \\ \sqrt{10000}E+00 & \sqrt{10000}E+00 & -\sqrt{3661}E-02 & \sqrt{10000}E+00 & \sqrt{10000}E+00 \\ \sqrt{10000}E+00 & \sqrt{10000}E+00 & \sqrt{10000}E+00 & \sqrt{10000}E+00 & \sqrt{10000}E+00 \end{bmatrix}$$

$$B = \begin{bmatrix} \sqrt{10000}E+00 & \sqrt{10000}E-02 \\ \sqrt{10000}E-01 & \sqrt{10000}E-02 \\ \sqrt{10000}E-02 & -\sqrt{10000}E-01 \\ \sqrt{10000}E+00 & \sqrt{10000}E+00 \\ \sqrt{10000}E+00 & \sqrt{10000}E+00 \end{bmatrix}$$

$$E = \begin{bmatrix} -\sqrt{9000}E-02 & \sqrt{10000}E+00 & -\sqrt{10000}E+00 \\ -\sqrt{10000}E+00 & -\sqrt{10000}E-01 & \sqrt{10000}E-01 \\ \sqrt{10000}E-01 & -\sqrt{10000}E-01 & -\sqrt{10000}E-01 \\ \sqrt{10000}E+00 & \sqrt{10000}E+00 & \sqrt{10000}E+00 \\ \sqrt{10000}E+00 & \sqrt{10000}E+00 & \sqrt{10000}E+00 \end{bmatrix}$$

$$C = \begin{bmatrix} \sqrt{10000}E+00 & \sqrt{10000}E+00 & \sqrt{10000}E+00 & \sqrt{10000}E+00 & \sqrt{10000}E+00 \\ \sqrt{10000}E+00 & \sqrt{10000}E+00 & \sqrt{10000}E+00 & \sqrt{10000}E+00 & \sqrt{10000}E+00 \end{bmatrix}$$

$$Q = \begin{bmatrix} \sqrt{10000}E+03 & \sqrt{10000}E+00 & \sqrt{10000}E+00 & -\sqrt{10000}E+03 & -\sqrt{10000}E+03 & \sqrt{10000}E+03 & \sqrt{10000}E+00 \\ \sqrt{10000}E+00 & \sqrt{10000}E+02 & \sqrt{10000}E+00 & -\sqrt{10000}E+01 & \sqrt{10000}E+00 & \sqrt{10000}E+00 & \sqrt{10000}E+00 \\ \sqrt{10000}E+00 & \sqrt{10000}E+00 & \sqrt{10000}E+02 & -\sqrt{10000}E+01 & \sqrt{10000}E+00 & \sqrt{10000}E+00 & \sqrt{10000}E+00 \\ -\sqrt{10000}E+03 & -\sqrt{10000}E+01 & -\sqrt{10000}E+01 & \sqrt{10000}E+03 & \sqrt{10000}E+01 & \sqrt{10000}E+00 & \sqrt{10000}E+00 \\ \sqrt{10000}E+00 & \sqrt{10000}E+00 & \sqrt{10000}E+00 & \sqrt{10000}E+01 & \sqrt{10000}E+01 & \sqrt{10000}E+04 & \sqrt{10000}E+00 \\ \sqrt{10000}E+00 & \sqrt{10000}E+00 & \sqrt{10000}E+00 & \sqrt{10000}E+00 & \sqrt{10000}E+00 & \sqrt{10000}E+00 & \sqrt{10000}E+03 \\ \sqrt{10000}E+00 & \sqrt{10000}E+00 & \sqrt{10000}E+00 & \sqrt{10000}E+00 & \sqrt{10000}E+00 & \sqrt{10000}E+00 & \sqrt{9000}E+00 \end{bmatrix}$$

$$R = \begin{bmatrix} \sqrt{6712}E+03 & \sqrt{10000}E+00 \\ \sqrt{10000}E+00 & \sqrt{10000}E+03 \end{bmatrix}$$